

ГЛАВА 10

ВНУТРЕННЕЕ СТРОЕНИЕ ЛУНЫ

«В наших руках находятся лишь поверхность породы Луны. Можно ли, исследуя лишь поверхность породы Луны (так и других планет), составить представление о химическом строении вещества внутри Луны?»

A. П. Биокергов, «Дифференциация вещества Луны и планет на оболочки», в книге «Космогенез Луны и планет»

Выше отмечалось, что для Луны хорошим приближением является однородная модель. Соответственно распределение давления в недрах Луны дается формулой (38). В настоящее время проведены первые зондирования Луны геофизическими методами. Суммируем кратко результаты этих работ.

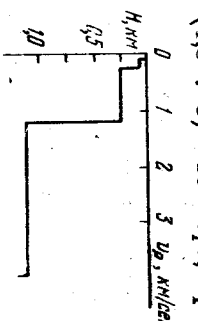
10.1. СЕЙСМИЧЕСКИЕ ДАННЫЕ

Первые сейсмические эксперименты на Луне проведены в 1969 г. В настоящее время на Луне работает сеть из четырех однотипных автоматических сейсмических станций. Эти станции работали до 1978 г. В настоящее время они выключены. В качестве источников питания используются изотопные энергетические установки. Лунные сейсмические станции непрерывно регистрируют естественные события: луногризения и падения метеоритов. Это пассивный сейсмический эксперимент.

На Луне были выполнены также активные сейсмические эксперименты двух типов. В активных экспериментах первого типа сейсмические волны возбуждались падением отработанных частей космических аппаратов «Аполлон». По команде с Земли третья ступень ракеты направлялась в заданную точку Луны. Ее масса составляла 14 т , скорость удара о лунную поверхность $2,5 \text{ км/сек}$, кинетическая энергия $5 \cdot 10^{17} \text{ эрг}$, сейсмическая энергия $5 \cdot 10^{12} \text{ эрг}$. Такой же сейсмический эффект получается

при взрыве заряда тротила массой в 10^7 г (говорят, что тротиловый эквивалент удара равен 10^7 т). Лунный модуль, в котором космонавты стартуют с Луны после стыковки с командным отсеком, также сбрасывался на Луну с лунной орбиты. Его масса $2,4 \text{ т}$, скорость падения $1,7 \text{ км/сек}$, кинетическая энергия удара $3 \cdot 10^{16} \text{ эрг}$, выделяемая сейсмическая энергия $(1,5 \div 3) \cdot 10^{10} \text{ эрг}$, тротиловый эквивалент 800 кг . Такой эксперимент можно рассматривать как космическую разновидность метода ГСЭ (глубинное сейсмическое зондирование). На Земле метод ГСЭ широко используется для изучения детального строения земной коры с помощью взрывов мощных зарядов взрывчатых веществ. Активные эксперименты второго типа похожи на земную сейсморазведку. В этом случае космонавты устанавливали на сейсмическом профиле длиной в сотни метров несколько геофонов, которые регистрировали около десятка искусственных взрывов зарядов от 100 г до $2,7 \text{ кг}$ с постоянной $100 \text{ м} - 2,7 \text{ км}$. Активные эксперименты позволили выявить детальную структуру наружных слоев Луны в местах посадки «Аполлона-14» (A-14), A-15, A-16 и A-17.

На рис. 38 показан скоростной разрез верхних слоев Луны в континентальном районе Гавр — Лигтров (у юго-восточной границы моря Ясности). Этот разрез построен группой американских сейсмологов под руководством Р. Ковача. Лунная поверхность выстлана слабосвязанным раздробленным обломочным материалом, названным лунным реголитом. Мощность реголитового покрова колеблется вблизи значений порядка 10 м . Скорости сейсмических волн в реголите равны $v_p \approx 104 \text{ м/сек}$, $v_s \approx 62 \text{ м/сек}$. Мощность второго слоя широко варьирует от десятков до сотни метров, $v_p \approx 250 - 300 \text{ м/сек}$. Этот слой состоит из трепановатого базальтового материала с низкоскоростными включениями. Резкая граница перехода к $v_p = 1,2 \text{ км/сек}$ располагается на глубине 248 м . Нижележащий слой примерно километровой мощности, видимо, также состоит из базальта, но более консолидированного. Он подстилается породами с $v_p = 4,0 \text{ км/сек}$. Предполо-



жительный состав габбро-анортозитовый. Поверхностные слои Луны в широком смысле слова состоят из базальтов. В лунных базальтах, так же как и в земных, преобладают пироксены, плагиоклазы, оливины и мильменит (FeTiO_3), который придает лунным морским базальтам темную окраску. Химические формулы и физические параметры оливинов и пироксенов даны в табл. 2. Лунные плагиоклазы состоят в основном из твердого раствора альбита $\text{NaAlSi}_3\text{O}_8$ (Ab) и анортита $\text{CaAl}_2\text{Si}_2\text{O}_8$ (An). Содержание анортита в лунных плагиоклазах $\sim \text{An}_{50} \div \text{An}_{60}$ в среднем Al_{19} .

Анортозит — светлая порода, слагающая лунные материи, состоит в основном из близкого к анортиту плагиоклаза с небольшой примесью оливина и пироксена. Анортозиты, слагающие материи, значительно отличаются от лунных базальтов, покрывающих морские районы. Следствием этого является и заметно меньшая плотность анортозитов ($\sim 2,9 \text{ g/cm}^3$), чем плотность морских базальтов ($\sim 3,3 \text{ g/cm}^3$). Горная порода, образовавшаяся из базальтовой магмы, застывшей в приповерхностных слоях, называется габбро. Она имеет состав, сходный с базальтом, но более грубовернистая. Выше было указано, что поверхность лунных пород является то, что они обделены по сравнению с земными породами легколетучими элементами (Rb, K, Th) и обладают повышенным содержанием многих «тугоплавких» элементов (Ba, Zr, Hf, редкие элементы, Th, U). Имеются еще и другие важные различия между лунным веществом, с одной стороны, и земным и метеоритным, с другой стороны. В настоящее время установлено несколько типов базальтовых магм, образовавшихся на различных этапах ранней эволюции Луны.

На рис. 39 показан скоростной разрез лунной коры и верхов ее мантии в районе формации Фра-Мауро в Океане Бурь, в местах расположения сейсмических станций A-12 и A-14. Этот разрез получен методом космического ГСЗ группой сейсмологов во главе с Н. Токсодем. Разрез характеризуется следующими деталями: 1) быстрое нарастание скорости v_p от значения $0,1 \text{ km/sec}$ на поверхности до 5 km/sec на глубине 10 km ; 2) резкое нарастание скорости на глубине около 20 km (граница раздела в лунной коре); 3) примерно постоянное значение

$v_p \sim 7 \text{ km/sec}$ в интервале глубин от 20 до 60 km ; 4) скачкообразное возрастание скорости у основания лунной коры (глубина 60 km); 5) в подкоровой области (лунной мантии) скорость определена неуверенно и неоднозначно. Наличие «зуба» на скоростном разрезе со временем скорости 9 km/sec уже несколько лет подвергается сомнению. Если и имеется высокоскоростной слой со скоростью сейсмических волн $v_p = 9 \text{ km/sec}$, то такой слой может быть локальной особенностью района Фра-Мауро и его мощность не должна превышать 40 km . Интерпретация скоростного разреза дана в подписи к рис. 39, на котором штриховкой показана область скоростей продольных волн v_p в различных породах по лабораторным данным. Быстрый рост скоростей с глубиной в наружных слоях обусловлен переходом вещества от неконсолидированного к консолидированному состоянию под действием собственного веса и роста температуры в глубь Луны. На

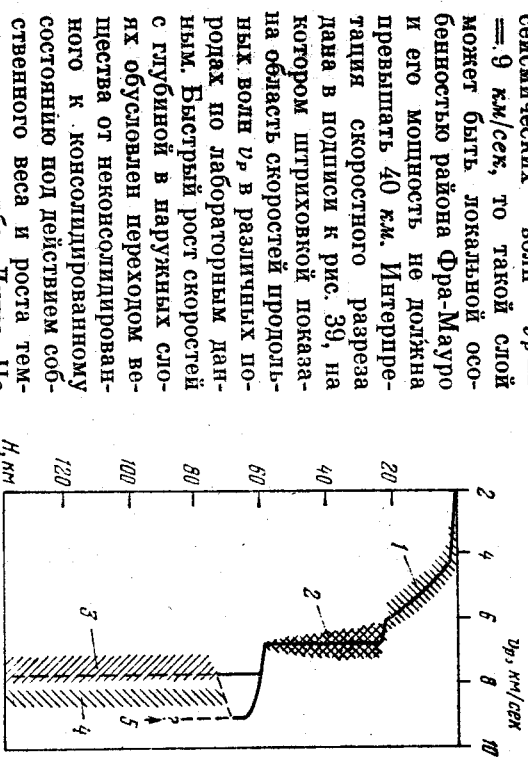


Рис. 39. Результаты исследования скоростной структуры коры и верха мантии Юго-восточной части Океана Бурь для r_p в пассивных и активных сейсмических экспериментах группы сейсмологов во главе с Г. Латемом. Рис. 40 интерпретируется следующим образом.

Луна чисто условно по единственным, сравнительно ледательным данным для района Фра-Мауро. Можно только утверждать, что мантия кора является глобальной особенностью Луны. На это, в частности, указывает большая величина теплового потока из недр Луны при относительно умеренных температурах ее наружных оболочек. Следовательно, радиоактивные источники должны быть вынесены к поверхности, что требует глобальной

дифференциации лунных недр. В настоящее время установлено, что центр тяжести Луны примерно на 2 км смещен по отношению к центру геометрической фигуры на шею естественного спутника в направлении к его видимому полушарию. Столь большое смещение центра тяжести может быть объяснено значительно большей мощностью лунной коры на невидимой стороне Луны. Не исключено, что там мощность лунной коры превосходит 100 километров. Видимо, на континентах лунная кора может иметь однослойное строение: анонгитовое сверху и ближе к габбро внизу. Итак, исследователи полагают, что лунная кора может заметно меняться в горизонтальном направлении, иными словами, является горизонтально неоднородной.

Под корой расположена в верхняя мантия Луны толщиной 250 км. Скорость v_p убывает от $\sim 8,1$ км/сек до $7,8$ км/сек. Распределение $v_s(l)$ установлено менее надежно (l — глубина); как видно из рис. 40, скорости v_s также убывают с глубиной от $\sim 4,7$ км/сек. Вопрос о минералогическом составе является сложным. Вероятный состав — пироксен-оливиновый.

Средняя мантия расположена на глубинах $\sim 300 \div 800$ км. Она отделена небольшим скачком v_p -и v_s -волн от верхней мантии. Состав средней мантии еще более неопределен. В отличие от верхней мантии ведущее средней мантии Луны может быть только частично дифференцировано в начальную эпоху лунной эволюции, и ее состав близок к первичному веществу, из которого образовалась Луна.

Кора, верхняя мантия и средняя мантия Луны образуют жесткую литосферу Луны, которая выдерживает заметные напряжения из-за неравновесности Луны. Добротность Q_s лунной литосферы порядка нескольких тысяч.

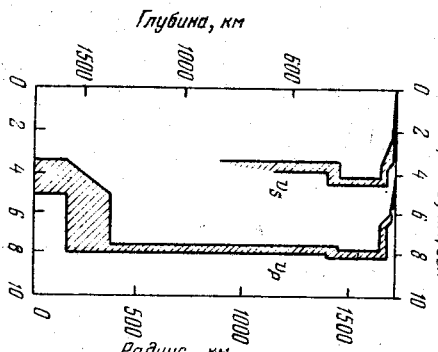


Рис. 40. Превиартельный склон

нот разреза Луны для v_p и v_s .

10.2. ФИГУРА И ГРАВИТАЦИОННОЕ ПОЛЕ

Геометрическая фигура Луны близка к сфере $R = 1738$ км, чему соответствует средняя плотность Луны $\rho = 3,344 \pm 0,004$ г/см³. Из-за того, что лунные моря являются в среднем понижениями относительно континентов и расположены они в основном на видимом полушарии, профиль высот ближайшего к нам полушария в общем

столб большие значения Q_s объясняются тем, что вещества лунных недр практически не содержат легких веществ (H_2O , CO_2 и др.), которые оно потеряло еще до образования Луны, следовательно, вещества «не загрязнены» и, кроме того, температуры внешних оболочек Луны заметно ниже температуры плавления.

Нижняя мантия Луны расположена глубже, ~ 1000 км. Ее отличает сильное поглощение сейсмических волн, Q_p заметно меньше 500. Соответственно, эту зону называют лунной астеносферой. Видимо, в лунной астеносфере температуры приближаются к температуре плавления (~ 1500 °C) или же вспышки распределению частичного плавления. Согласно распределению скоростей на рис. 40 у Луны может быть маленькое ядро с радиусом в несколько сотен километров. Ядро находится в расплавленном или полурасплавленном состоянии, так как через него не проходят поперечные волны, и состоит из раствора Fe—FeS.

Современное состояние лунных недр характеризуется очень низким уровнем сейсмичности. Полное выделение сейсмической энергии за год для Луны составляет ~ $10^{13} - 10^{15}$ эрг/год, что на 12–10 порядков меньше, чем для Земли. Все лунотрясения исключительно слабы и их фокальные зоны расположены на глубинах 700–1000 км, т. е. в пограничной зоне между литосферой и астеносферой, где по расчетам должны концептироваться напряжения из-за неравновесности фигуры Луны. Интересной особенностью лунной сейсмичности является ее периодичность с периодами, равными периодам лунных приливов (13,6 дня; 27,2 дня; 27,5 дня и 206 дней). Таким образом, лунные приливы служат или спусковым механизмом для лунотрясений или же источником их энергии.

отрицателен по отношению к средней сфере, а профиль высот обратной стороны Луны соответственно положителен. Мы уже отмечали, что центр масс Луны смешен относительно геометрического центра к Земле примерно на 2 км. Гравитационное поле Луны в настоящее время детально исследовано по наблюдениям за искусственными спутниками Луны. В формуле для гравитационного потенциала (18) определены коэффициенты с $n \leq 13$. Это позволяет рассмотреть вопрос об отклонении фигуры Луны от гидростатически равновесной.

Если бы Луна была достаточно разогретой и пластичной, так чтобы ее фигура могла принять равновесную форму, то современной угловой скорости ее вращения соответствовало бы значение экваториального радиуса $a = R + \Delta a$, $\Delta a = 2,5$ м, а полярный радиус b был бы несколько меньше среднего $b = R + \Delta b$, $\Delta b = -10$ м. В поле Земли равновесная фигура Луны будет трехсной. Совместим начало координат с центром тяжести Луны, ось x расположим в экваториальной плоскости и направим к Земле, ось y выберем по направлению движения Луны по орбите, а ось z вдоль оси вращения. Тогда

$$a_x = R + \Delta a_x, \quad \Delta a_x = 39 \text{ м}, \quad a_y = R + \Delta a_y, \\ \Delta a_y = -11 \text{ м}, \quad a_z = R + \Delta a_z, \quad \Delta a_z = -28 \text{ м}.$$

Если теперь воспользоваться реальными значениями гравитационных моментов для Луны, определяющих ее внешнее гравитационное поле (18), то получим следующие величины для осей динамической фигуры Луны: $a_x = R + \Delta a_x$, $\Delta a_x \approx 510$ м, причем вклад в это значение гармоник с $n > 2$ равен примерно 20%, $a_y = R + \Delta a_y$, $\Delta a_y = 490$ м, а вклад высших гармоник ($n > 2$) в два с лишним раза больше, чем вклад от гармоники с $n = 2$. Полярная ось a_z меньше среднего радиуса на $\Delta a_z = -520$ м, причем вклад в это значение гармоник с $n > 2$ составляет $\sim 7\%$. Эти результаты приводят к важным выводам. В § 2.5 было введено понятие о высотах геоида Земли, которые оказались ~ 70 м и характеризовали уклонение динамической фигуры Земли от нормального апллонида вращения, а гравитационного поля Земли от нормального поля. В случае Луны за нормальную фигуру можно выбрать сферу среднего радиуса R , о которой мы говорили выше, так как отклонение равноденной фигуры Луны от сферы мало и лежит в пределах

несколько десятков метров. Динамическую фигуру Луны, определяемую уровненной поверхностью ее внешнего гравитационного потенциала, можно назвать селеноидом, причем высоты селеноида, как мы только что видели, равны примерно 500 м, что на порядок больше, чем высоты геоида. Следовательно, отклонение Луны от гидростатического равновесия на порядок больше, чем Земли. Напряжения в теле планеты пропорциональны произведению ускорения силы тяжести на высоту геоида (или селеноида). Так как ускорение силы тяжести к Луне в шесть раз меньше, чем в Земле, то, несмотря на значительно большую неравновесность Луны, напряжения в ней примерно такие же, как и в Земле. Наличие «размягченной» центральной области у Луны с радиусом 700 км приводит к некоторой концентрации касательных напряжений у подошвы лунной литосферы, где они равны примерно 40 бар.

Если бы фигура Луны была не равновесной, но опиралась бы сферическими функциями второго порядка $n = 2$, то тогда можно было бы сделать вывод о том, что в настоящее время мы наблюдаем «застывшую» древнюю равновесную фигуру Луны, которую она имела в начальный период своей истории, когда ее орбита была значительно ближе к Земле и соответственно ее угловая скорость вращения была заметно большей. (Луна из-за приливного трения должна была прийти в состояние синхронного вращения вскоре после своего образования в окрестности Земли.)

Тот факт, что гармоники с $n > 2$ вносят существенный вклад в отклонение фигуры Луны от равновесной, и то, что эта неравновесность сохранилась последние 3,5 · 10⁹ лет лунной истории, указывает на то, что наружные слои Луны должны были быть достаточно прочными, а следовательно, достаточно холодными, чтобы выдерживать все это время напряжения из-за неравновесности лунной фигуры. Кроме того, можно полагать, что заметный вклад в создание этой неравновесности внесла бомбардировка поверхности Луны большими телами (4,0 ± 3,8) · 10⁹ лет назад, в эпоху образования лунных морей.

В 1968 г. Мюллер и Сьегрен, изучая гравитационное поле Луны, обнаружили крупные положительные аномалии и ввели понятие о масконах как источниках этих аномалий. Масконы обнаружены на видимой стороне

Луны и около лимба (края Луны), причем наибольшие из них совмещены с главными круговыми морями (Море Дождей, Море Ясности, Море Кризисов, Море Восточное, Море Нектара и Море Влажности). Существующие методы наблюдения не позволяют выявить масконы обратной стороны Луны. Однако тот факт, что на обратной стороне отсутствуют большие круговые моря, позволяет предположить, что там нет и крупных масконов.

На Земле положительные гравитационные аномалии встречаются над континентами и горными областями, а отрицательные — над глубоководными океаническими впадинами.

Особенность лунных масконов в том и заключается, что они связаны с понижениями лунной поверхности. Исследование показывает, что аномальные массы, дающие масконы, расположены в наружных слоях Луны и хорошо описываются дискообразными моделями. Наиболее крупным масконам отвечают аномальные массы примерно в $20 \cdot 10^{-6}$ массы Луны, что составляет $\sim 10^{21} \text{ g}$. Если отнести аномальные массы к уровню поверхности Луны, то для круговых морей величина избыточной массы на единицу площади приблизительно одинакова и равна $800 - 900 \text{ kg/cm}^2$. Такая величина была бы эквивалента дополнительному слою базальта толщиной 3 км при плотности $3,0 \text{ g/cm}^3$. Если маскон образован расположенным у поверхности лунным морским базальтом ($\rho \sim 3,3 \text{ g/cm}^3$) в аморфистовой коре ($\rho \sim 2,9 \text{ g/cm}^3$), так что контраст плотности $\Delta \rho \sim 0,4 \text{ g/cm}^3$, то толщина базальтового слоя должна быть равна $\sim 20 \text{ km}$. Места расположения масконов являются топографическими понижениями и связаны с геологически древними образованиями. Поскольку круговые моря генетически связаны с падениями на поверхность Луны крупных тел, то эти события сыграли важную роль в образовании масконов. Падение этих тел и заполнение круговых морей разделены заметным интервалом времени. Возможность того, что масконы образованы самими упавшими телами, в настоящее время представляется малоправдоподобной. Поэтому возникновение масконов связано с перетеканием вещества в теле Луны и, по-видимому, требует следующей цепи событий, вне зависимости от конкретного механизма образования масконов.

На раннем этапе своего развития Луна выделила свою кору с плотностью меньшей, чем плотность подстилаю-

щей ее мантии. По-видимому, в эту эпоху наружные слои Луны были достаточно разогреты, обладали высокой пластичностью и находились в состоянии, близком к гидростатическому равновесию. Удары крупных тел о поверхность Луны привели к образованию на месте будущих круговых морей больших кратеров, которые затем стали тем или иным способом изостатически выравнивались. Вслед за этим Луна вступила в сравнительно спокойный период, в течение которого происходило формирование ее литосферы в результате охлаждения наружных слоев. Повидимому, в эту эпоху Луна приняла и зафиксировала свою фигуру. Тогда же наружные слои Луны приобрели прочность, достаточную как для сохранения своей неравномерной фигуры, так и для поддержания масконов. Заполнение базальтовой лавой круговых морей вслед за образованием лунной литосферы привело к окончательному обравованию масконов.

Масконы представляют собой также же неравновесное обравование на Луне, как и ее фигура, только другого пространственного масштаба. Наличие масконов приводит к отклонению центр Луны от гидростатических условий и порождает касательные (сдвиговые) напряжения порядка 50–100 бар в наружном слое Луны мощностью в несколько сотен километров.

Существует несколько различных гипотез, объясняющих образование масконов путем перетекания вещества в теле Луны. Гипотезы, связанные с локальным переносом массы, требуют, чтобы в окрестности маскона существовал дефицит массы и, следовательно, отрицательные гравитационные аномалии. В настоящее время намечается окаймление некоторых масконов кольцом отрицательных аномалий. Этот вопрос находится в стадии исследования. Открытие лунных масконов представляет пример важного, неожиданного открытия в космосе.

10.3. МАГНЕТИЗМ ЛУНЫ

Магнетизм Луны изучался как советскими, так и американскими исследователями космоса. Магнетизм Луны необычен. Действительно, у Луны не обнаружено собственного дипольного магнитного момента заметной величины. По оценкам величина магнитного диполя Луны $M_L < 10^{20} \text{ g} \cdot \text{cm}^3$. Это в 10^6 раз меньше, чем магнитный момент Земли и в 300 раз меньше магнитного момента

Марса. Если такой момент поместить в центре Луны, то магнитное поле на ее поверхность будет всего несколько гамм.

То, что Луна не обладает заметным дипольным полем, было известно до начала экспедиции «Аполлонов». Поэтому открытие магнетизма Луны явилось большой неожиданностью. Оказалось, что лунное магнитное поле крайне нерегулярно как по направлению, так и по величине. Так, в месте посадки А-15 (район Алленни и Бороды Хэдли У юго-восточного края Моря Дождей) величина магнитного поля составляет 6 гамм, в Океане Бурь (А-12) поле составляет 40 гамм, а на насыпной формации Фра-Мауро (А-14), образовавшейся в Океане Бурь выбросом материала при ударном образовании Моря Дождей, ~ 100 гамм, наконец в континентальной области (район Кратера Лекарт, 9°S, 15,5°E) поле на протяжении нескольких километров меняется на сотни гамм, достигая величины 300 гамм. Исследования, проведенные аппаратами «Аполлон» с околосолнечных орбит, показали, что кора континентов намагничена сильнее, чем кора лунных морей. Поле на обратной стороне Луны также сильно переменно и характеризуется локальными минимумами в местах расположения кратеров. Исследование образцов лунного грунта в лабораториях позволило установить, что основными носителями магнетизма являются мелкозернистые частицы железа, содержащиеся как в скальных лунных базальтовых породах (~ 0,05%), так и в лунном реголите (~ 0,5%). Видимо, большую роль в образовании «турбулентной» структуры лунного магнетизма сыграла ударная обработка поверхности Луны на протяжении ее истории. Изучение лунных образцов привело к заключению, что на протяжении от ~ 4 · 10⁹ лет до ~ 3 · 10⁹ лет назад лунные породы подвергались воздействию магнитного поля величиной в несколько тысяч гамм. Эти данные указывают, что не исключено, что Луна обладала собственным магнитным полем сразу же после своего образования ~ 4,6 · 10⁹ лет назад и до ~ 3,2 · 10⁹ лет назад — момента, когда прекратилась активная вулканическая жизнь Луны.

Происхождение магнитного поля можно объяснить или первоначально горячей Луной с активно действующим механизмом гидромагнитного динамо, или же сравнительно холодной Луной (температура ниже 800 °C, никакие точки Ююри для железа), «запомнившей» какое-то

магнитное событие, плавшее место в прошлом. Большинство специалистов склоняется к мнению, что внешние магнитные поля не могли явиться причиной лунного магнетизма. Резюмируя, можно сказать, что происхождение древнего магнитного поля, которое намагничило первичную лунную кору и лунные горные породы, является одним из важнейших нерешенных вопросов, стоящих перед исследователями Луны.

4.4. ЭЛЕКТРОМАГНИТНОЕ ЗОНДИРОВАНИЕ

Электромагнитное зондирование Луны осуществляется путем исследования ее реакции на переменное поле, пе-реносимое солнечным ветром. Результаты зондирования основаны на показаниях трех магнитометров (А-12, А-15 и А-16), расположенных на лунной поверхности, и показаниях магнитометра на лунном спутнике «Эксплорер-35», одновременно измерившим магнитное поле солнечного ветра в окрестностях Луны. Определение электропроводности лунных недр является сложной и неоднозначной задачей. Решения, предложенные различными исследователями группами, показаны на рис. 41. Все эти реше-ния кусочно-постоянны, т. е. недра Луны разбиваются на

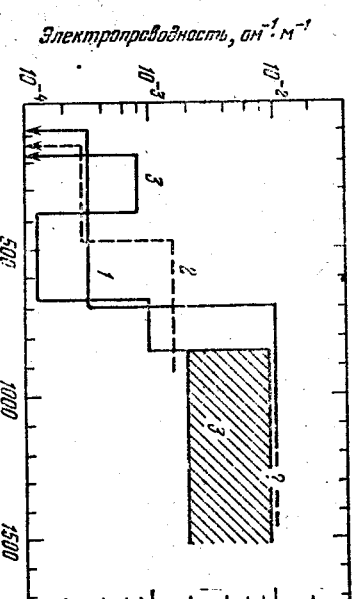


Рис. 41. Распределение коэффициента электропроводности в недрах Луны по данным разных авторов. 1 — Сейр с сотрудниками; 2 — Сонет с сотрудниками; 3 — Давин с сотрудниками.

слои с постоянной электропроводностью. Качественно они похожи, хотя решение Ваньяна и сотрудников (кри-вая 3) имеет минимум электропроводности на глубинах 370–670 км. Если бы был известен состав различных

оболочек лунных недр, то, измеряя в лаборатории электропроводность этих веществ в предполагаемых (ρ , T) условиях, мы затем по данным об электропроводности, приведенным на рис. 41, могли бы оценить температуры, соответствующие в недрах Луны. В действительности проблема состава лунных недр далека от своего решения. Тем не менее, данные, показанные на рис. 41, используются для оценок температур. Так, в предположении оливинового состава распределение, полученное Дейлом с сотрудниками (кривая 2) и Советом с сотрудниками (кривая 3), дают оценочные температуры $\sim 1000^{\circ}\text{C}$ на глубинах ~ 700 км. Если предположить пироксено-оливиновый состав, то температуры получаются более высокими: $\sim 1000^{\circ}\text{C}$ на глубине ~ 400 км и 1400°C на глубинах 800 км. Хотя оценки температур по данным об электропроводности приводятся во многих работах, они еще очень неадекватны.

Как общий вывод, можно принять, что электропроводность наружных слоев Луны заметно меньше электропроводности наружных оболочек Земли, что указывает на более низкие температуры в Луне. Этот вывод согласуется с данными гравиметрии, в частности, с данными о масштабах, которые также указывают, правда, косвенно, на сравнительно низкие температуры в наружных слоях Луны.

4.5. ТЕПЛОВОЙ ПОТОК

Тепловой поток из недр планеты определяется по формуле (34). На Луне выполнено два измерения теплового потока (A-15 и A-17). В обоих случаях бурилась скважина на глубину ~ 230 см, в которую вводился тепловой аонд. Стационарные температуры в Луне (не возмущаемые колебаниями температур на дневной поверхности) устанавливаются на глубине ~ 70 см и равны $\sim 253^{\circ}\text{K}$. Начиная с этой глубины, температурный градиент, отражающий стационарный тепловой поток из недр к поверхности, составил $\sim 1,3 - 1,7^{\circ}/\text{м}$. Верхние 2 см реголита при температуре 220°K характеризуются очень низкой теплопроводностью, $\sim 3,5 \cdot 10^{-6} \text{ кал/см} \cdot \text{град} \cdot \text{сек}$. С ростом глубины теплопроводность быстро нарастает. На глубинах от 50 до 230 см были получены значения от $5,3 \cdot 10^{-5}$ до $1,23 \cdot 10^{-4} \text{ кал/см} \cdot \text{град} \cdot \text{сек}$. Рост теплопроводности является следствием уплотнения лунного

грунта с глубиной. Места измерения теплового потока были в пограничном районе между морской и континентальной областями (A-15) и в континентальной области (A-17). Вначале Лэнгс с сотрудниками получили для теплового потока для обоих районов примерно одинаковые значения, равные $0,70 \cdot 10^{-6} \text{ кал/см}^2 \cdot \text{сек}$. Однако дополнительный анализ привел авторов к заключению, что первые опубликованные ими результаты содержали систематическую ошибку. После пересмотра данных оказалось, что тепловой поток в месте посадки A-15 равен $0,53 \cdot 10^{-6} \text{ кал/см}^2 \cdot \text{сек}$, а для района посадки A-17 $0,38 \cdot 10^{-6} \text{ кал/см}^2 \cdot \text{сек}$. Получается так, что разные геологические структуры на Луне, так же как и на Земле, характеризуются различными тепловыми потоками. Это означает, что при исследовании Луны может быть использован метод структурной сelenотермии. Получается, что тепловой поток из недр Луны примерно в три раза меньше земного теплового потока.

Поясним теперь простой оценкой, почему тепловой поток из недр Луны следует считать большим. Предположим, что тепловое состояние Земли и Луны примерно стационарно, т. е. количество тепла, вытекающее через поверхность обоих тел, равно количеству тепла, выделяемому в их недрах. Такое предположение близко к действительности. Тогда тепловой поток пропорционален объему и обратно пропорционален поверхности тела:

$$\frac{q_{\text{Л}}}{q_3} = \frac{(V_{\text{Л}}/S_{\text{Л}})}{(V_3/S_3)} \sim \frac{V_{\text{Л}}}{V_3} \cdot \frac{S_3}{S_{\text{Л}}} = \frac{R_{\text{Л}}}{R_3}.$$

Следовательно, отношение тепловых потоков в предположении одинаковой концентрации источников, грубо говоря, равно отношению радиусов $R_{\text{Л}} = 1738$ км и $R_3 = 6371$ км. Это отношение получается равным $1/4$, а лунный поток $q_{\text{Л}} = \frac{1}{3} q_3$. Следовательно, концентрация источников тепла в лунных породах должна превышать концентрацию радиоактивных источников тепла в земных породах.

Данные о тепловом потоке позволяют сделать еще два важных вывода. Мы уже отмечали, что наружные слои Луны сравнительно холодные и прочные (не пластичные), так как на протяжении $\sim 3,5 \cdot 10^9$ лет они выдерживают напряжения от лунных масконов. Это возможно

лишь в том случае, если недра Луны претерпели глубокую дифференциацию с выплавлением лунной коры и выносом в нее почти всех радиоактивных источников и в раннем этапе лунной истории. Гелло от радиоактивных источников, сконцентрированных в коре, отводится через поверхность Луны и почти не идет на нагревание ее недр. Второй вопрос, на который помогают ответить данные о лунном тепловом потоке, это проблема источников энергии, из которой формируется тепловой поток. В случае Луны не существует никаких источников, кроме радиоактивности, которые могли бы давать существенный вклад в формирование теплового потока. Сделать такой же однозначный вывод в отношении Земли значительно труднее. Хотя радиоактивных источников тепла в Земле достаточно, чтобы объяснить ее тепловой поток, тем не менее последние 10 лет все настойчивее выдвигается гипотеза о важной роли энергии, выделяемой в Земле из-за все еще протекающих в ней процессов гравитационной дифференциации. Данные о лунном тепловом потоке можно рассматривать как косвенное указание на то, что в Земле тепловой поток формируется за счет радиоактивности. Температуры в недрах Луны оценить очень трудно. В качестве оценок можно положить $\sim 400^{\circ}\text{C}$ на глубине 200 км, $\sim 800^{\circ}\text{C}$ на глубине ~ 500 км, $\sim 1200-1500^{\circ}\text{C}$ на глубине ~ 1000 км, в центре Луны температуры не выше $\sim 1600^{\circ}\text{C}$.

10.6. ЛУННАЯ ХРОНОЛОГИЯ

На Луне нет и, видимо, никогда не было плотной атмосферы и гидросфера. В результате поверхность Луны запечатлела и сохранила следы начальной истории Солнечной системы. В связи с этим исследование Луны имеет исключительно большое значение для проблемы происхождения и эволюции Земли и планет. В этом смысле Луна для проблемы происхождения представляет большой интерес, чем, скажем, Земля, Венера и Марс — планеты, на которых процессы эрозии стерли следы ранней истории. Методом радиоактивного датирования лунных образцов, доставленных на Землю, установлено, что возраст Луны равен $\sim 4,6 \cdot 10^9$ лет. Образование лунной коры мощностью 60—100 км из-за частичного или полного плавления наружных слоев Луны и процессов грави-

тационной дифференциации происходило как на стадии образования Луны как космического тела, так и в последующие $\sim (2/3) \cdot 10^8$ лет. Эпоха образования первичной коры перекрывается со следующим этапом лунной истории продолжительностью от $2 \cdot 10^8$ до $6 \cdot 10^8$ лет. Это был период активной вулканической деятельности, интенсивной бомбардировки лунной поверхности, метеоритами, в результате чего возникли лунные брекчи и происходил ударный метаморфизм древних пород. Следовательно, на протяжении первых $0,6 \cdot 10^9$ лет активную роль играли как эндогенные (внутренние), так и экзогенные (внешние) процессы. В это же раннее время произошло выплавление анортитового «плота» Луны, образовавшего ее первичную кору, и выплавление ранних лунных базальтов. Следующая эпоха, длившаяся $\sim 10^8$ лет ($\sim 6 \cdot 10^8 \div 7 \cdot 10^8$ лет после образования Луны), характеризуется ударным образованием круговых лунных морей (Море Дождей, Море Восточное, Море Ясности, Море Кризисов и др.). Выбросы из кратеров будущих круговых морей образовали насыпные горы и некоторые формации, например, Фра-Мауро в Океане Бурь, и в значительной степени стерли следы предыдущей истории лунной поверхности.

Следующий период связан с заполнением базальтовой лавой лунных морей и завершением образования масков. Этот эпизод был весьма продолжительным (от $\sim 3,9 \cdot 10^9$ до $3,6 \cdot 10^9$ лет назад). Таким образом, как отмечалось выше, события образования ударных кратеров круговых морей и события заполнения их лавой разделены заметным интервалом времени. Последние $3 \cdot 10^9$ лет на Луне не менялись за счет эндогенных процессов, хотя падение на нее метеоритов и образование кратеров происходило. Таким образом, эрозия лунной поверхности в последние $3 \cdot 10^9$ лет обусловлена только метеоритной бомбардировкой. Эта бомбардировка, по существу, не стерла главных событий в жизни Луны, о которых мы говорили выше.

Исследования Луны, проведенные космическими аппаратами в последние 10 лет, сделали наши представления о ней более конкретными. Но более конкретными стали и все важнейшие проблемы, связанные с Луной и Солнечной системой в целом. Решение этих проблем — дело будущего и, видимо, требует больших усилий.

Владимир Наумович Жарков

ВНУТРЕННЕЕ СТРОЕНИЕ ЗЕМЛИ И ПЛАНЕТ

M., 1978 г., 192 стр. с илл.

Редактор Г. С. Килько

Техн. редактор Н. В. Кошелева

Корректоры Е. А. Беличак, Л. Н. Боровина

ИБ № 2470

Сдано в набор 12.06.78. Полиграфия к печати 10.11.78. Т-20435.
Бумага 84×108 $\frac{1}{4}$ з, тип. № 2. Обыкновенная гарнитура.
Высокая печать. Установл. печ. л. 10.08. Уч.-изд. л. 10.25.
Тираж 40000 экз. Заказ № 188. Цена книги 50 коп.

Изательство «Наука»
Главная редакция физико-математической литературы
117071, Москва, В-71, Ленинский проспект, 15
Типография № 4. Изд-ва «Наука». 630077, Новосибирск, 77.
Станиславского, 25.